

## MODELAREA SISTEMELOR ORIENTATE PE SERVICII PRIN REȚELE PETRI RECONFIGURABILE CU ATRIBUTE MATRICEALE

Iu. Țurcanu, drd., E. Guțuleac, dr. hab, prof. univ., D. Pali, drd.  
Universitatea Tehnică a Moldovei

### INTRODUCERE

Actualmente, sistemele de calcul cu arhitecturi orientate pe servicii (SCOS) în timp real cunosc o dezvoltare rapidă, atât sub aspectul complexității și/sau performanțelor, cât și al ariei de răspândire [1, 4, 8]. Acest tip de sisteme trebuie să aibă o flexibilitate, disponibilitate și siguranță în funcționare deosebită. Un astfel de sistem poate fi considerat și implementat drept fiind o colecție de configurații, unde fiecare din acestea este o rețea de componente ce comunică între ele. Diferite configurații pot fi folosite pentru alocarea și procesarea a diferitor servicii sau condiții de operare ale aplicațiilor. Ca urmare, facilitățile trecerii în timp real de la o configurație către alta pe parcursul rulării, duc la creșterea siguranței în funcționare și a flexibilității utilizării sistemului [2], asigurarea cărora în timpul reconfigurării dinamice este dificilă din cauza interacțiunii între serviciile de aplicație ale sistemului.

Unul dintre cele mai răspândite formalisme moderne, folosite pentru modelarea și analiza sistemelor paralele/distribuite cu evenimente discrete, sunt rețelele Petri (*RP*) de diferite extensii [1, 3, 6, 7]. Totodată, apare necesitatea de a dezvolta aceste formalisme pentru a descrie mai adecvat, mai flexibil și mai comod sisteme SCOS cu structuri complexe dinamic restructurabile. În [4] au fost introduse *RP* generalizate reconfigurabile (*RGR*), pentru simularea, verificarea și analiza sistemelor concurente care în mod dinamic sunt supuse schimbărilor de structură.

Însă pentru sisteme reale într-o simulare vizuală prin *RGR*, este posibil ca unele variabile ale atributelor obiectelor acestor tip de rețele trebuie să ia valori specifice multiple, care fie că nu pot fi descrise compact într-un mediu *RGR* sau că modelarea lor va crește în mod semnificativ complexitatea grafică a modelului sistemului. De exemplu, în scopul de a efectua evaluarea indicatorilor de performanță ale unor procese de calcul orientate pe servicii pentru o anumită sarcină de simulare cu un profil de câteva mii de servicii cu valori diferite, este necesar ca un număr mare de locații, tranziții și arce să fie adăugate la modelul

*RGR* pentru a obține valoarea de încărcare dorită pentru fiecare interval de timp specificat. Aceasta duce la o creștere considerabilă a complexității structurale a modelului *RGR* și deci apar probleme semnificative de analiză, cum ar fi explozia spațiului de stări, ceea ce induce la creșterea complexității globale de calcul, precum și la creșterea timpului de simulare al funcționării sistemului analizat. Pentru a aborda acest tip de probleme, în lucrare sunt introduse modele *RGR* interpretate cu atribute matriceale de calcul, notată *RGIM*, în mod similar cum au fost folosite în [5] prin introducerea arcelor database cu ponderi matriceale. În același context, sunt considerate unele aspecte de modelare și analiză a proceselor de calcul orientate pe servicii reconfigurabile.

Un avantaj important al demersului propus constă în faptul că modelul *RGIM* este foarte concis și flexibil, deoarece mai multe dintre variabilele sale sunt parametrizate ce pot lua valori alternative.

### 1. REȚELE RGR CU ATRIBUTE MATRICEALE

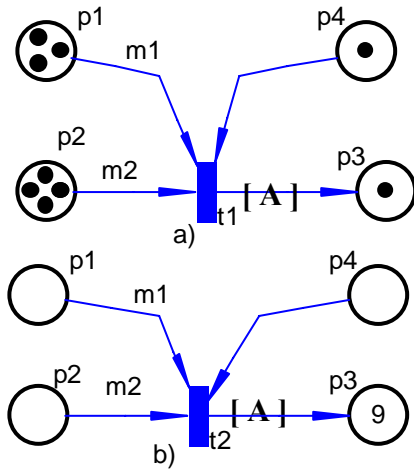
Un atribut matriceal, dependent de marcajul curent, al unui obiect rețele *RGR* cu atribute matriceale, abreviat *RGRM*, (arc, locație, tranziție obișnuită, tranziție de procesare, regulă de rescriere, etc.) este definit de către o matrice  $A = [a_{i,j}(M)]_{k \times n}$ ,  $a_{i,j}(M) \in \mathbb{N}_+$ ,  $A \in \mathbf{A}$  de tipul specificat și de către un set de locații de control  $P^A \subset P$ , determinat de dimensiunile acestei matrice  $k \times n$ , astfel încât elementele acestei matrice sunt constante, variabile sau niște funcții (expresii) de tipul specificat care, eventual, pot fi dependente de marcajul curent  $M$  al *RGRM*. De exemplu, un vector coloană are o dimensiune egală cu unu, deci  $P^A = \{p_l\}$ ; o matrice 2-D are o dimensiune egală cu doi, deci  $P^A = \{p_l, p_v\}$ , etc. Capacitatea locațiilor de control este respectiv egală cu:  $M(p_l) = k$  și  $M(p_v) = n$ . Marcajul curent  $m_l = M(p_l)$  și  $m_v = M(p_v)$  al locațiilor de control  $P^A = \{p_l, p_v\}$  arată poziția

elementului în matricea  $A$ , mărimea căruia este necesar să fie importată și luată în considerare la funcționarea și analiza modelului.

Un atribut matriceal al  $RGRM$  va fi reprezentat astfel încât el va conține între paranteze pătrate numele matricei specificate în prealabil. Astfel, cardinalitatea arcelor matriceale *directe*, simbolizate respectiv cu  $\boxed{A}$  și a arcelor *inhibitor* sau *test* [2, 3, 5], simbolizate în mod similar pot lua valori care sunt conținute într-o matrice specificată  $A$ . Pentru a ilustra acest fapt în figura 1 este prezentat un exemplu de rețea  $RGRM1$ , cu marcajul curent  $M = (3, 4, 1, 1) = (3p_1 4p_2 p_3 p_4)$ , locații de control  $P^A = \{p_1, p_2\}$  și un arc matriceal direct  $(t_1, p_3)$  ce ilustrează modelarea grafică și operarea acestui arc care importă mărimea ponderii sale curente din matricea  $A$ , redată de relația (1):

$$A = \begin{bmatrix} 3 & 2m_1 + m_3 & 1 & 1 + m_3 \\ 2 & 7 & 5 & 3 + m_2 \\ 1 & 4 & 8 & m_2 + 4m_3 \end{bmatrix}, \quad (1)$$

unde  $m_i = M(p_i)$ ,  $i = 1, 2, 3, 4$  este numărul de jetoane în locația  $p_i$  pentru marcajul curent.



**Figura 1.** Acționarea unui arc matriceal direct în  $RGRM1$ : a) starea inițială; b) starea finală.

Ponderea arcului  $(p_1, t_1)$  este egală cu  $m_1$ , iar a arcului  $(p_2, t_1)$  este egală cu  $m_2$ . Deoarece matricea  $A$  este bidimensională, sunt necesare două locații de control. În cazul rețelei  $RGRM1$  avem  $P^A = \{p_1, p_2\}$ . Locația de control  $p_1$  are capacitatea  $K_p(p_1) = 3$ , iar capacitatea lui  $p_2$  este  $K_p(p_2) = 4$ . Aceste locații sunt incidente înainte la tranziția  $t_1$  de intrare la arc matriceal direct  $(t_1, p_3)$ , simbolizat cu  $[A]$ . Poziția elementului

$a_{i,j}$  al matricei  $A$ , mărimea ponderii căreia este de dorit să fie importată, este realizată de informațiile despre numărul respectiv de jetoane conținute în aceste locații și anume: elementul selectat al acestei matrice se află în rândul  $i = m_1$  și coloana  $j = m_2$ .

În figura 1a este prezentată starea  $RGRM1$  înainte de declanșarea lui  $t_1$ , din care se poate observa că  $m_1 = 3$  (deoarece, locația  $p_1$  are trei jetoane) și  $m_2 = 4$  (deoarece, locația  $p_2$  are patru jetoane), iar în figura 1b este prezentată starea  $RGRM1$  după declanșarea lui  $t_1$ , din care se poate observa faptul că locația  $p_3$  are un marcaj egal cu valoarea 9, deoarece a fost selectat elementul  $a_{3,4} = m_2 + 4m_3 = 8$ . Ca rezultat al declanșării  $t_1$ , obținem  $M[t_1 > M', M' = M + a_{2,4} = (9p_3)$ .

În mod similar pot fi matriceal parametrizate toate atributele rețelei  $RGRM$  cum ar fi, de exemplu, următoarele atribute matriceale [3]:

- de gardă ale tranzițiilor  $B \in \mathbf{B}$  pentru care  $B = [b_{i,j}(M)]_{k \times n}$ ,  $b_{i,j}(M) \in \{true, false\}$ ;
- de capacitate ale locațiilor  $KP \in \mathbf{KP}$  pentru care  $KP = [kp_{i,j}(M)]_{k \times n}$ ,  $kp_{i,j}(M) \in IN_+$  cu  $K_p(p_i) = \max_{\forall i} (m_i, kp_{i,j}(M))$ ;
- a regulilor de rescriere validate  $R \in \mathbf{R}$   $R = [r_{i,j}(M)]_{k \times n}$ ,  $r_{i,j}(M) : \Gamma \zeta_{i,j}^L \triangleright \Gamma \zeta_{i,j}^W$  ale rețelei curente  $\Gamma \zeta$ .

Menționăm că la declanșarea  $r_{i,j}(M)$ , operatorul binar  $\triangleright$  va produce o modificare a structurii  $\Gamma \zeta$  astfel încât subrețeaua  $\Gamma \zeta_{i,j}^L \subseteq \Gamma \zeta$  va fi eliminată din  $\Gamma \zeta$ , obținându-se o nouă rețea  $\Gamma \bar{\zeta} = \Gamma \zeta \setminus \Gamma \zeta_{i,j}^L$  la care se va adăuga apoi subrețea specificată  $\Gamma \zeta_{i,j}^W$  [3]. Ca rezultat al aplicării acestei reguli se va obține rețeaua  $\Gamma \tilde{\zeta} = \Gamma \bar{\zeta} \cup \Gamma \zeta_{i,j}^W$ , adică  $\Gamma \zeta [r_{i,j}(M) > \Gamma \tilde{\zeta}]$ . La eliminarea locațiilor și/sau tranzițiilor (regulilor de rescriere) ale  $\Gamma \zeta_{i,j}^L$ , arcele respective ce le conectează se vor elimina în mod implicit. De asemenea, la adăugarea lui  $\Gamma \zeta_{i,j}^W$  în  $\Gamma \bar{\zeta}$  toate locațiile cu marcaje noi și/sau tranzițiile (regulile de rescriere) respective ce au aceleași nume și aceleași atribute vor fi contopite. La contopirea locațiilor cu același nume jetoanele se vor aduna. Implicit, regulile  $r_{i,j}(M) : \Gamma \zeta_{i,j}^L \triangleright \emptyset$  și  $r_{i,j}(M) : \emptyset \triangleright \Gamma \zeta_{i,j}^W$  descriu respectiv  $\Gamma \tilde{\zeta} = \Gamma \zeta \setminus \Gamma \zeta_{i,j}^L$  și  $\Gamma \tilde{\zeta} = \Gamma \zeta \cup \Gamma \zeta_{i,j}^W$ . Menționăm, de asemenea, că

$\Gamma \zeta_{i,j}^L$  și  $\Gamma \zeta_{i,j}^w$  pot fi considerate aparte și ca submulțimi de: 1) locații  $P_L$  și/sau  $P_w$  cu marcaje respective; 2) tranziții (respectiv reguli de rescriere)  $T_L$  (respectiv  $R_L$ ) și/sau  $T_w$  (respectiv  $R_w$ ) și 3) arce  $A_L$  și/sau  $A_w$  de diferite tipuri.

Cel mai important avantaj al folosirii modelelor *RGRM* la descrierea și verificarea funcționării proceselor de calcul orientate pe servicii constă în faptul că structura acestor tip de modele este foarte *concisă* și poate fi *flexibil de modificat* în timp real, deoarece mai multe dintre atributele sale sunt *parametrizate*. Aceasta permite de a asocia atributelor *RGRM* valori alternative în mod controlat de starea curentă a modelului. De asemenea, prin utilizarea atributelor matriceale propuse, datele reale pot fi cu ușurință importate în procesul de simulare, asigurând astfel coerența și valabilitatea rezultatelor obținute.

Modelarea acestor tipuri de procese prin *RGR* sau *RP* obișnuite [1, 3] duce la necesitatea de a folosi pentru fiecare atribut matriceal încă  $2k \times n$  arce și  $k \times n$  tranziții (locații) suplimentare, ceea ce face ca complexitatea structurii modelului să crească în mod considerabil. Pentru a ilustra avantajele folosirii rețelelor de tipul *RGRM* în figura 2a este prezentat un exemplu simplu de rețea *RGRM2* cu un arc direct matriceal ( $t_5, p_6$ ) cu ponderea **A**, redată de relația (2) :

$$A = \begin{bmatrix} 5 + m_1 & 3 & 2 \\ 4 & 2 + m_2 & 1 + 2m_2 \end{bmatrix} \quad (2)$$

În acest model locațiile de control sunt  $P^A = \{p_2, p_3\}$  cu  $K_p(p_2) = 2$  și  $K_p(p_3) = 3$  respectiv. Selectarea rândului respectiv  $i = m_2$  și a coloanei  $j = m_3$  ale elementului  $a_{i,j}(M)$ ,  $i = 1, 2$ ;  $j = 1, 2, 3$  al matricei **A** este efectuată în mod dinamic de către marcajul curent al  $\{p_2, p_3\}$ .

Desfășurarea acestui model în formă de rețea *RP2* obișnuită, funcționarea căreia este echivalentă lui *RGRM2*, este prezentată în figura 2b. Pentru a efectua aceasta desfășurare este necesar de a substitui în *RGRM2* următoarele operații:

1) tranziția  $t_5$  este substituită prin  $k \times n = 6$  tranziții  $t_{5,l}$ ,  $l = 1, \dots, k \times n$ , funcțiile de gardă ale cărora sunt respectiv:

$$g_{5,1}(M) = (m_2 = 2) \& (m_3 = 3),$$

$$g_{5,2}(M) = (m_2 = 2) \& (m_3 = 2),$$

$$g_{5,3}(M) = (m_2 = 2) \& (m_3 = 1),$$

$$g_{5,4}(M) = (m_2 = 1) \& (m_3 = 2),$$

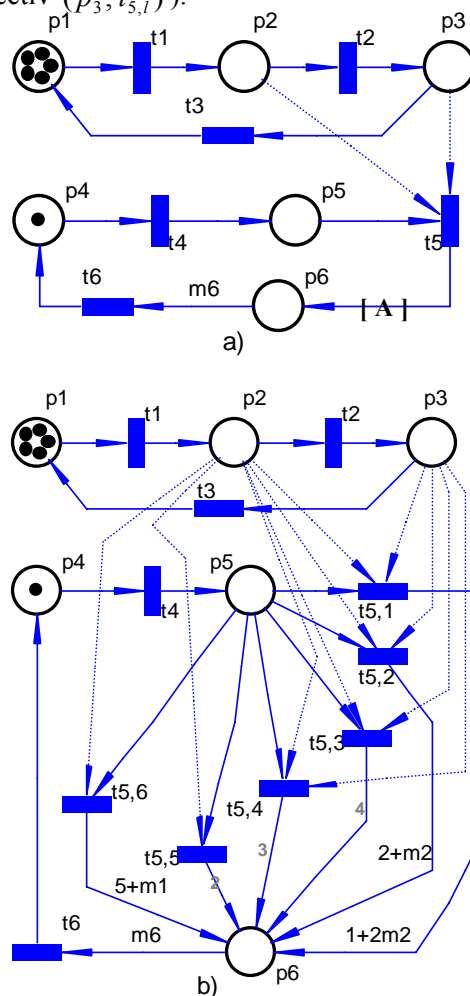
$$g_{5,5}(M) = (m_2 = 1) \& (m_3 = 3),$$

$$g_{5,6}(M) = (m_2 = 1) \& (m_3 = 1);$$

2) arcul direct matriceal ( $t_5, p_6$ ) cu ponderea **A** este substituit prin  $k \times n$  arce directe ( $t_{5,l}, p_6$ ),  $l = 1, \dots, 6$  cu ponderile respective ale elementelor matricei **A** din relația (2);

3) de a conecta locația  $p_5$  cu fiecare tranziție introdusă  $t_{5,l}$  prin arce ( $p_5, t_{5,l}$ );

4) locația  $p_2$  (respectiv  $p_3$ ) este conectată cu fiecare tranziție introdusă  $t_{5,l}$  prin arce test ( $p_2, t_{5,l}$ ) (respectiv ( $p_3, t_{5,l}$ )).



**Figura 2.** Modelul *RGRM2* (a) și modelul *RP2* echivalent celui *RGRM2* (b).

## 2. RGRM INTERPETATE

Pentru a trata unele probleme menționate la modelarea și analiza proceselor de calcul orientate pe servicii reconfigurabile, în acest compartiment definim un model de *RGRM interpretate* dinamic

reconfigurabile, notate  $RGIM$ , în care introducem o mulțime de tranziții de procesare  $\zeta = \{\zeta_1, \dots, \zeta_n\}$  a expresiilor matriceale ale atributelor și o mulțime de reguli matriceale de rescriere  $R = \{r_1, \dots, r_k\}$  a rețelei  $RGIM$  curente ce pot modifica atât marcajul curent, cât și structura ei la ocurența unor evenimente specificate. O tranziție de procesare  $\zeta_j \in \zeta$  și o regulă de rescriere  $r_j \in R$  sunt o generalizare a noțiunii de tranziție obișnuită  $t_j \in T = \{t_1, \dots, t_{|T|}\}$ , folosită în sens clasic. Condiția de validare de către marcajul curent  $M$  a unei tranziții de procesare și/sau a unei reguli de rescriere  $r_j \in R$  este similară cu cea a unei tranziții obișnuite  $t_j \in T$  în  $RGR$ .

**Definiția 1.** O multimulțime  $\mu$  de elemente ale unei mulțimi finite nevide  $X$  este orice aplicație a lui  $X$  în mulțimea numerilor întregi naturale  $IN_0$ . Exprimăm  $\mu = \sum_{x \in X} \mu(x) \cdot x$ , unde  $\mu(x)$  denotă numărul de apariții ale lui  $x$  în  $\mu$ ,  $\mu(x) \in N_0$ . Mulțimea tuturor multimulțimilor ale lui  $X$  este notată  $Bag(X)$ . Mulțimea de submulțimi ale lui  $X$  este notată prin  $\wp(X)$ . Pentru două multimulțimi  $\mu_1, \mu_2 \in Bag(X)$  operațiile adunarea (+), înmulțirea la un scalar (\*), compararea ( $\leq$ ), diferența (+) și dimensiunea  $|\mu|$  sunt definite în modul următor:

1.  $(\mu_1 + \mu_2)(x) = \mu_1(x) + \mu_2(x), \forall x \in X$ ;
2.  $(n * \mu)(x) = n * \mu(x), \forall n \in IN_0, \forall x \in X$ ;
3.  $\mu_1 \leq \mu_2 \Leftrightarrow \mu_1(x) \leq \mu_2(x), \forall x \in X$ ;
4.  $(\mu_2 - \mu_1)(x) = \mu_2(x) - \mu_1(x), \forall x \in X$ ,  
 $\mu_1 \leq \mu_2$ ; 5)  $|\mu| = \sum_{x \in X} \mu_1(x)$ . ■

**Exemplul 1.** Fie  $X = \{a, b, d, e\}$ , iar  $\mu_1 = \{a, a, a, b, b, e, e\}$  și  $\mu_2 = \{a, a, b, d, d, d, e\}$  sunt respectiv două multimulțimi pe  $X$  astfel încât:  $\mu_1(a) = 3, \mu_1(b) = 2, \mu_1(d) = 0, \mu_1(e) = 2$  și  $\mu_2(a) = 2, \mu_2(b) = 1, \mu_2(d) = 3, \mu_2(e) = 1$ . Aceste multimulțimi  $\mu_1$  și  $\mu_2$  sunt notate și ca o sumă formală redate astfel:  $\mu_1 = 3a + 2b + 2e$  și  $\mu_2 = 2a + b + 3d + e$ , iar suma lor este  $\mu_1 + \mu_2 = 5a + 3b + 3d + 3e$ .

Cu fiecare tranziție de procesare  $\zeta_j \in \zeta$  sunt asociate aserțiuni, expresii, mesaje, funcții marcaj dependente de tipul specificat, expresii descriptive

ale subrețelelor ce trebuie să fie procesate de  $\zeta_j$ , la declanșarea acestora obținându-se rezultatul specificat. Tipul de date este descris prin declarații care este similar cu cel al unei rețele Petri colorate și al unui limbaj de programare orientat pe obiecte. Pe aceste tipuri de date se definesc o mulțime de operații, rezultatul fiind o algebră multisortată având ca domenii aceste tipuri. De exemplu, mulțimea finită, utilizator-extensibilă, de tipuri de date de bază ar putea fi:

$y ::= bool \mid integer \mid real \mid char \mid string \mid XML \mid net \mid \dots$ ,

unde  $bool$  conține valorile booleene adevărat sau fals,  $integer$  și  $real$  conțin toate numerele întregi și respectiv cele reale,  $string$  conține toate șirurile de caractere  $char$  și XML conține toate documentele XML bine formate, iar  $net$  expresii descriptive ale subrețelelor posibile tip  $RGIM_j, j = 1, \dots, n_y$  [3]. Deși acest set de tipuri de date poate fi ales în mod arbitrar, vom cere ca el, cel puțin, să le conțină pe cele menționate. Din aceste tipuri de bază, putem construi și tipuri de date mai complexe.

Fie  $X \rho Y$  este o relație binară  $\rho$  între două mulțimi  $X$  și  $Y$ , în care domeniul lui  $\rho$  este  $Dom(\rho) = \rho Y$ , iar codomeniul este  $Cod(\rho) = X \rho$ .

**Definiția 2.** O rețea  $RGIM$ , abreviat  $\Gamma \zeta$ , este o structură de obiecte constituită dintr-un 13-tuplu:

$$\Gamma \zeta = \langle P, E, \theta, Pre, Post, Test, Inh, Pri, G_E, G_R, Kp, \phi, M_0 \rangle, \text{ unde :}$$

- $P = \{p_1, \dots, p_{|P|}\}$  este mulțimea nevidă de locații;  $E$  este mulțimea nevidă de evenimente discrete, constituită din  $E = T \cup \zeta \cup R \neq \emptyset$ ,  $T \cap \zeta \cap R = \emptyset$ , astfel încât  $P \cap E = \emptyset$ , unde  $T = \{t_1, \dots, t_{|T|}\}$  (respectiv  $\zeta = \{\zeta_1, \dots, \zeta_{n_\zeta}\}$ ) este mulțimea tranzițiilor obișnuite (resp. de procesare), declanșarea cărora pot să modifice numai marcajul curent (resp. să determine noi date de tipul specificat, obținute la procesarea expresiilor, de tipul respectiv, asociate cu  $\zeta$  și să modifice marcajul curent) al rețelei, iar  $R = \{r_1, \dots, r_k\}$ , este mulțimea regulilor de rescriere, care poate să modifice în mod dinamic marcajul curent și/sau structura cu toate atributele rețelei curente. Grafic (vezi figura 3), tranzițiile obișnuite sunt reprezentate prin bare groase, tranzițiile de procesare prin dreptunghiuri cu o săgeată în ele, iar regulile de rescriere sunt reprezentate prin dreptunghiuri imbricate;

- $\theta = \{\theta_1, \theta_2, \dots, \theta_{n_\zeta}\}$  este mulțimea finită nevidă a tipurilor de date, definită pentru funcții

matriceale marcaj dependente  $\theta_\zeta$  ale mulțimii  $\zeta$ , astfel încât  $\theta_\zeta : \zeta \rightarrow \wp(\theta)$ ;

- Arcele sunt redată de funcții matriceale marcaj - dependente de *inhibiție*  $Inh$ , *Test* și cele de incidență *înainte* (respectiv *înapoi*)  $Pre$ :  $E \times P \times IN_+^{P \times P} \rightarrow IN_+$  (respectiv  $Post$ :  $P \times E \times IN_+^{P \times P} \rightarrow IN_+$ ).  $IN_+$  este mulțimea numerilor întregi naturale nenule;

- $Pri$ :  $E \times IN_+^{P \times P} \rightarrow IN_+$  este funcția matriceală de ordonare parțială a lui  $E$ , care introduce priorități dinamice de declanșare a evenimentelor validate de marcajul curent. Implicit, prioritățile ce nu sunt menționate ale unor evenimente  $e_j \in E$  sunt considerate nule;

- Funcțiile  $G_E : E \times IN_+^{P \times P} \rightarrow \{true, false\}$  și  $G_R : (\zeta \cup R) \times IN_+^{P \times P} \rightarrow \{true, false\}$  sunt respectiv niște funcții de gardă matriceale (eng. *Guard-function*), care pentru orice eveniment  $e_j \in E$  și respectiv  $\zeta_j \in \zeta$ ,  $r_k \in R$  determină respectiv funcții Booleene  $g_j^E(M)$ ,  $g_j^\zeta(M)$  și  $g_k^R(M)$  în marcajul curent  $M$ . Astfel, dacă evenimentul  $e_j$  este validat de marcajul curent  $M$ , notat  $M[e_j >$ , relativ la arce și  $g_j^E(M) = 'true'$ , atunci evenimentul  $e_j$  rămâne validat și, eventual, el poate fi declanșat, iar dacă  $g_j^E(M) = 'false'$  - acest eveniment nu este validat. Implicit  $g_j^E(M) = 'true'$ . În cazul în care evenimentul  $e_j$  validat este o tranziție obișnuită sau o tranziție de procesare cu  $g_j^\zeta(M) = 'false'$  sau o regulă de rescriere cu  $g_j^R(M) = 'false'$ , atunci declanșarea acestui eveniment va *shimba numai* marcajul curent al rețelei  $\Gamma_\zeta$ . În cazul în care  $e_j = \zeta_j$  este validată și  $g_j^\zeta(M) = 'true'$  atunci tranziția de procesare  $\zeta_j$  la declanșare va schimba atât marcajul curent cât și datele curente, de tipul respectiv, ca rezultat al procesării expresiilor și aserțiunilor asociate cu acest eveniment. Însă dacă  $e_j = r_j$  și  $g_j^R(M)(c) = 'true'$  acesta va modifica atât structura cu unele atribute curente ale  $\Gamma_\zeta$ , cât și marcajul ei curent în conformitate cu specificațiile acestei reguli. Implicit, funcțiile de gardă respective ce nu sunt menționate ale unor evenimente  $E' \subseteq E$  și  $E'' \subseteq \zeta \cup R$  sunt considerate ca constanta 'true';

- $Kp : P \times IN_+^{P \times P} \rightarrow (IN_+ \cup +\infty)$  este funcția matriceală de capacitate a locațiilor, încât  $\forall p_i \in P$

aceasta este redată de capacitatea maximă de jetoane care pot să se afle în locația  $p_i$ ,

$0 < Kp(p_i) < +\infty$ . Implicit,  $Kp(p_i)$  este nelimitată;

- $\phi : E \rightarrow \{T, \zeta, R\}$  este funcția care indică tipul de eveniment validat de către marcajul curent al rețelei, adică el este de tipul  $t$ ,  $e \in T$  sau  $e \in \zeta$ , declanșarea căruia modifică *numai marcajul curent* sau de tipul  $r \in R$ , care va modifica atât *structura rețelei cu atributele sale*, cât și *marcajul ei curent*;

- $M_0 : P \rightarrow Bag(P)$  este marcajul inițial ce determină o funcție de marcarea definită pe mulțimea locațiilor  $P$ , astfel încât:

$$\forall p \in P, M(p) \in Bag(P). \quad \blacksquare$$

În figura 3 sunt prezentate primitivele rețelelor de tipul  $\Gamma_\zeta$ .

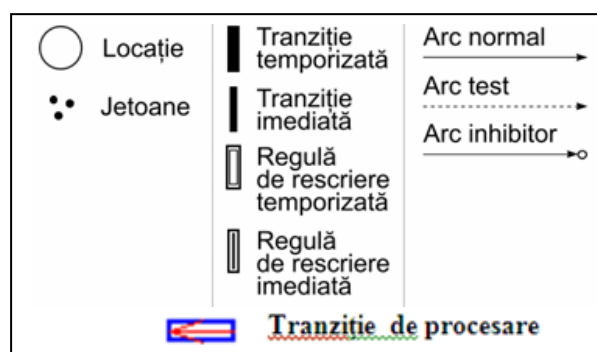


Figura 3. Primitivele rețelelor de tipul  $\Gamma_\zeta$ .

### 3. MODELAREA SCOS PRIN RGIM STOCASTICE

SCOS este o paradigmă de organizare și utilizare a capacităților resurselor de calcul distribuite, care pot fi aplicate și controlate în domenii cu diferite proprietăți. În pofida faptului că implementările sunt specifice acestea sunt întotdeauna construite în baza următoarelor concepte majore: servicii (referitor la implementări); descrierea serviciilor; operațiuni (interacțiuni) cu servicii.

Serviciile SCOS sunt efectuate printr-un schimb de mesaje de interacționare între solicitanții și furnizorii de servicii. Furnizorii de servicii publică descrierile lor într-un registru de servicii. Clienții foc cunoștință cu aceste descrieri, apoi în baza condițiilor invocate accesează aceste servicii. Arhitectură SCOS este bazată pe interdependența a trei entități distincte: furnizorul de servicii, consumatorul de servicii și registrul de servicii.

Rețelele Petri, fiind un formalism cu o semantica formală bine fundamentată, sunt folosite cu succes pentru modelarea proceselor cu

evenimente discrete [1, 2, 6, 8]. Ele sunt deosebit de potrivite pentru modelarea proceselor cu proprietăți de concurență, sincronizare și non-determinism.

Serviciile furnizate de SCOS sunt exact procese de acest tip, deoarece fluxurile de execuție pot fi văzute ca seturi de stări parțial ordonate ale serviciilor și operații ale acestor servicii. Mai mult, în astfel de modele de servicii stările ar trebui să alterneze cu operațiile. O structură de serviciu SCOS include două tipuri de seturi cu elemente care pot fi conectate numai cu elementele ce aparțin altui tip de set și vice-versa. Evident, astfel de proprietăți structurale sunt exact cele pe care le oferă formalismul de rețele *RGIM*.

*Definiția 3.* O rețea *RGIM stocastică extinsă*, abreviat *RIMS*, este sistemul redat de către tripletul de obiecte  $\langle \Gamma\zeta, \Lambda, \omega \rangle$ , unde:

- $\Gamma\zeta$  este o rețea *RGIM* temporizată, definită în conformitate cu Definiția 2, în care  $E = E_\tau \cup E_0$ ,  $E_0(M) \cap E_\tau(M) = \emptyset$ . Aici  $E_\tau$  este mulțimea evenimentelor temporizate cu o durată aleatorie de declanșare ce are o distribuție exponențial-negativă (grafic sunt reprezentate prin dreptunghiuri groase), iar  $E_0$  este mulțimea evenimentelor imediate cu o durată de declanșare nulă (grafic sunt reprezentate prin bare subțiri), astfel încât  $\text{Pri}(E_0) > \text{Pri}(E_\tau)$ . Acestea descriu selectoare probabilistice;

- $\Lambda : E_\tau \times IN_+^{|\mathcal{P}| \times |\mathcal{P}|} \rightarrow IR^+$  este funcția matriceală ce determină rata  $0 \leq \lambda(t, M) < +\infty$  de declanșare a evenimentului validat în marcajul curent  $M$ .  $IR^+$  este mulțimea mărimilor reale nenegative.

- $\omega : E_0 \times IN_+^{|\mathcal{P}| \times |\mathcal{P}|} \rightarrow IR^+$  este funcția matriceală de pondere  $0 \leq \omega(t, M) < +\infty$  ce determină probabilitatea de declanșare a evenimentelor imediate validate de marcajul curent  $M$ . ■

Astfel, fluxurile de prelucrare ale unui modul de serviciu simplu pot fi descrise de către o subrețea Petri membranală  $SM_i = [{}_i S\Gamma\zeta_i]^{Q_i}$ ,  $i = 1, \dots, ks$  [3], numită *modul rețea de servire*, în care atributul  $Q_i = \{q_1, \dots, q_{Q_i}\}$  reprezintă mulțimea de indicatori ai calității de serviciu QoS furnizați de  $SM_i$ , de exemplu:  $q_1$  - fiabilitatea;  $q_2$  - disponibilitatea;  $q_3$  - durata medie de răspuns;  $q_3$  - costul serviciului, etc.

În continuare, pentru a facilita descrierea proceselor de servire ale SCOS, locațiile și tranzițiile respective ale fiecărui  $SM_i$  vor fi redată în modul următor:  $p_{i,l} \in P_i$ ,  $l = 1, \dots, ni$ ,  $ni = |P_i|$  și  $e_{i,j} \in E_i$ ,  $j = 1, \dots, ki$ ,  $ki = |E_i|$  cu  $i = 1, \dots, ks$ . De

asemenea, vom considera  $SM_i$  ce are numai o singură locație de intrare (locație start)  $p_{i,1}$  care corespunde stării inițiale a serviciului și numai o singură locație de ieșire (locație finală)  $p_{i,ni}$  care corespunde stării finale a acestui serviciu. Locația  $p_{i,1}$  nu are arce de intrare, iar cea  $p_{i,ni}$  nu are nici un arc de ieșire asociat cu această locație. De obicei, o locație de intrare este asociată cu starea serviciului în care el este gata să înceapă derularea lui, adică pentru  $M(p_{i,1}) = 1$ ,  $M(p_{i,l}) = 0$ ,  $l = 2, \dots, ni$ . În mod obișnuit, o locație de ieșire reflectă starea în care serviciul este finalizat, adică pentru  $M(p_{i,ni}) = 1$ ,  $M(p_{i,j}) = 0$ ,  $j = 1, \dots, ni - 1$ . Locația de intrare și cea de ieșire trebuie să fie totdeauna conectate prin intermediul unor stări tranzitorii, fie direct sau indirect, pentru a se asigura că serviciul este realizabil structural. De asemenea, vom cere ca *rețeaua de servire* complementară  $\overline{SM}_i$ , obținută prin adăugarea la serviciul  $SM_i$  a unei tranziții  $t_{i,ni+1}$  și a două arce  $(t_{i,ki+1}, p_{i,1})$  și  $(p_{i,ni}, t_{i,ki+1})$  cu  $M_0^i = (p_{i,1})$  trebuie să fie mărginită (sigură), viabilă și reversibilă [3]. O astfel de organizare a unui  $SM_i$  este numită formă standard, care este deosebit de potrivită pentru a descrie funcționarea unui SCOS cu aplicații reconfigurabile.

O stare a serviciului curent este activată (finalizată), atunci când există un jeton în locația sa corespunzătoare a unui  $SM_i$ . Prezența unui jeton în locația de intrare sau a celei de ieșire a serviciului  $SM_i$  reflectă respectiv inițierea și finalizarea acestui serviciu. Dacă locația de intrare la un eveniment are un număr necesar de jetoane, acesta este validat și el poate să declanșeze. La declanșarea acestui eveniment el va elimina (va depune) respectiv un număr specificat de jetoane din locația sa de intrare (în locația sa de ieșire) sau îl va reconfigura.

În figura 4 este prezentat un model de rețea  $S\Gamma\zeta_1$  care descrie funcționarea unui SCOS ce furnizează un set de servicii simple, redată de către o matrice  $SM = [SM_j]_{1 \times n}$ ,  $j = 1, \dots, n$ .

Semnificațiile nodurilor modelului  $S\Gamma\zeta_1$  sunt:

- $p_1$  - utilizatori de servicii;  $p_2$  - cereri de servicii formate;  $p_3$  - cerere de serviciu recepționată de către server;  $p_4$  - activarea mecanismului de formare a următorului  $SM_i$ ;  $p_5$  - activarea verificării schimbării serviciului curent;  $p_6$  - semaforul ce asigură deservirea ordonată a cererilor;  $p_7$  -

activarea regulii de schimbare a  $SM_j$  în  $SM_i$ ;  $p_8$  - răspunsul serviciului  $SM_j$ ;  $p_9$  - serverul este liber;  $p_{10}$  - indicator sfârșit al serviciului furnizat de  $SM1$ ;  $p_{11}$  - inițiere controlor al mecanismului de generare a cererilor de servicii;  $p_{12}$  - indicator de selectare al următorului tip de serviciu;  $p_{j,1}$  - inițierea prelucrării serviciului curent  $SM_j$ ;  $p_{j,nj}$  - sfârșit al prelucrării serviciului curent  $SM_j$ .

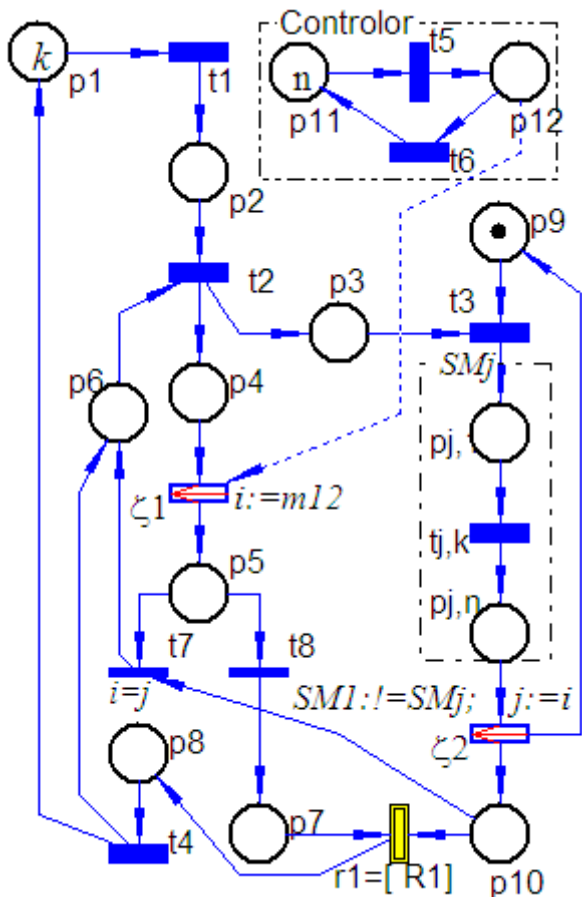


Figura 4. Modelul  $ST\zeta_1$  funcționării unui SCOS ce furnizează un set de servicii simple.

- $t_1$  - generarea cererilor de servicii;  $t_2$  - transmiterea cererii de servicii către server și procesarea pregătirii următorului tip de serviciu;  $t_3$  - cererea de serviciu  $SM_j$  este recepționată și verificată de către server;  $t_4$  - finalizarea procesării răspunsului serviciului  $SM_j$ ;  $t_5$  - generarea tipului de serviciu cerut;  $t_6$  - setarea controlorului de generare a cererilor de servicii;  $t_7$  - verifică dacă utilizatorul cere iarăși serviciul ce este în curs de procesare (funcția de gardă  $g_7^E = (i = j)$ );  $t_8$  -

verifică dacă utilizatorul cere un serviciu diferit de cel în curs de procesare (funcția de gardă  $g_7^E = (i \neq j)$ );  $t_{j,k}$  - prelucrarea curentă a serviciului redat de  $SM_j$ .

- $\zeta_1$  - procesarea expresiei  $i := m_{12}$  de tipul integer;  $\zeta_2$  - finalizarea procesării serviciului  $SM_j$ , eliberarea serverului și transmiterea confirmării; procesarea expresiilor:  $j := i$  de tipul integer și  $SM1 := SM_j$  de tipul rețea de servire în care rețeaua fiind redată de expresia descriptivă a  $SM_j$  [3] este atribuită lui  $SM1$ .

- $r_1 = [R1]$ , regula de rescriere matriceală a  $ST\zeta_1$  cu  $R1 = [r_i^1]_{1 \times n}$ , elementele matricei căreia sunt:  $r_i^1 : SM1 \triangleright (|_{t_3} p_{i,1} \vee SM_i \vee p_{i,n_i} |_{t_4})$ ,  $i = 1, \dots, n$  cu  $g_i^{R1} = "true"$  (vezi [3]). La declanșarea lui  $r_i^1$  din rețeaua curentă  $ST\zeta_1$  se va elimina subrețeaua redată de expresia descriptivă  $SM1$ , obținându-se astfel o nouă rețea  $ST\zeta_1' = ST\zeta_1 \setminus SM1$ , iar la aceasta se va adăuga subrețeaua redată de expresia descriptivă  $SM' = |_{t_3} p_{i,1} \vee SM_i \vee p_{i,n_i} |_{t_4}$ , luându-se în considerație faptul că nodurile ce au același nume și atribute se vor contopi, iar numărul de jetoane în locațiile respective se vor aduna. În rezultatul rescrierii  $ST\zeta_1$  de către  $r_i^1$  se va obține o nouă configurație de rețea  $ST\zeta_1[r_i^1] > ST\zeta_1'$ , unde  $ST\zeta_1'' = ST\zeta_1' \cup SM'$ .

Atributele locațiilor  $ST\zeta_1$  sunt:  $Kp(p_i) = 1$ ,  $i = 3, \dots, 10$ ;  $M_0 = (kp_1, p_8, p_9, np_{11})$ .

Ratele de declanșare ale evenimentelor temporizate (tranziții obișnuite, tranziții de procesare și reguli de rescriere) sunt redată în mod standard. Mulțimea de evenimente validate de marcajul inițial al modelului de rețea  $ST\zeta_1$  este  $E(M_0) = \{t_1, t_5\}$ . La declanșarea tranziției obișnuite  $t_1$  se va genera o cerere de serviciu, redată de apariția unui jeton în locația  $p_1$ , care la rândul său validează tranziția obișnuită  $t_2$ . Declanșarea tranziției obișnuite  $t_3$  a controlorului va selecta următorul modul de serviciu  $SM_i$ , indicele  $i = m_{12}$  căruia este procesat de  $\zeta_1$ . La declanșarea lui  $t_2$  se vor depune câte un jeton în locațiile  $p_3$  și  $p_4$  care vor valida respectiv tranziția obișnuită  $t_5$  și tranziția de procesare  $\zeta_1$ . Declanșarea lui  $t_3$  va iniția începutul prelucrării modului de serviciu curent  $SM_i$  prin apariția unui

jeton în locația  $p_{j,1}$ . Terminarea serviciului  $SM_i$  este indicată de apariția unui jeton în locația  $p_{j,n_j}$  care va valida  $\zeta_2$ . În cazul declanșării tranziției de procesare  $\zeta_2$  ea va procesa expresiile:  $j := i$  de tipul integer și  $SM1 := SM_j$  de tipul *rețea de servire* în care rețeaua curentă, fiind redată de expresia descriptivă  $SM_j$ , este atribuită lui  $SM1$ . De asemenea, la declanșarea lui  $\zeta_2$  ea va depune câte un jeton în locațiile  $p_9$  și  $p_{10}$  care vor valida regula matriceală de rescriere  $r_1 = [R1]$  a modulului de servire  $SM_j$  curent prelucrat prin următorul  $SM_i$ ,  $i := m_{12}$  selectat în prealabil de către  $\zeta_1$  cu  $g_i^{R1} = \text{"true"}$ . Tranzițiile imediate  $t_7$  și  $t_8$  redau selectorul probabilistic care determină dacă este necesar de furniza același modulul de servire  $SM_j$  în cazul în care  $g_7^E = (i = j)$ .

Rețeaua  $ST\zeta_1$  este mărginită, viabilă și reinițializabilă.

#### 4. CONCLUZII

Rețelele *RIMS* propuse sunt foarte eficiente la redarea, modelarea, verificarea și analiza performanțelor sistemelor SCOS, deoarece folosirea acestora au următoarele avantaje: 1) au caracteristici suplimentare de vizualizare a procedurilor de modelare și simulare, care permit de a realiza un mediu puternic de validare și evaluare; 2) permit de a reprezintă în același model atât schimbarea dinamică a atributelor și stărilor sistemului, precum și schimbarea dinamică a structurii sale; 3) cu utilizarea atributelor matriceale propuse, datele reale pot fi cu ușurință importate în procesul de simulare, asigurând astfel coerența și valabilitatea rezultatelor obținute.

Metoda propusă este generală și poate fi aplicată la o gamă largă de tipuri de sisteme cu evenimente discrete. În plus, cu destul de puține modificări și completări, utilizarea abordării descrise poate fi în continuare generalizată pentru a studia sisteme din domenii cu caracteristici similare. Din analiza prezentată sa arătat că *RIMS* definite și studiate în această lucrare pot fi folosite ca un instrument foarte promițător pentru modelarea, evaluarea fiabilității și performanțelor SCOS.

Aplicabilitatea acestui demers este ilustrată printr-un exemplu al proceselor de calcul orientat pe

servicii reconfigurabile în care sunt prelucrate diferite tipuri de cereri ale diferitor servicii.

În lucrările pe viitor, vom elabora și dezvolta un produs program instrumental pentru simularea vizuală și analiză a modelelor de rețele *RIMS* ce descriu funcționarea proceselor de calcul orientate pe servicii reconfigurabile.

#### Bibliografie

1. **Ding, Z. J., Wang, J. L., Jiang, C. J.** *An Approach for Synthesis Petri Nets for Modeling and Verifying Composite Web Service. Journal of information science and engineering* 24, pp. 1309-1328, 2008.
2. **Guțuleac, E., Țurcanu, Iu., Palii, D.** *Aspecte de modelare și analiză a proceselor de calcul orientate pe servicii reconfigurabile// Proceedings of the 6-th International Conference on Microelectronics and Computer Science, ICMCS 2011 Chișinău, R. Moldova, September 22-24, p. 187-19, 2011.*
3. **Guțuleac, E.** *Descriptive Timed Membrane Petri Nets for Modeling of Parallel Computing. International Journal of Computers, Communications & Control, No. 3, Vol. I, Agora University Editing House, Oradea, România, pp. 33-39, 2006.*
4. **Hamadi, R., Benatallah, B.** *A Petri net-based model for Web service Composition// In Proceedings of 14th Australian Database Conference on Database Technologies, Vol. 17, Adelaide, Australia, pp. 191-200, 2003.*
5. **Katsigiannis, Y. A., Georgilakis, P. S., Tsinarakis, G.J.** *Introducing a coloured fluid stochastic Petri net-based methodology for reliability and performance evaluation of small isolated power systems including wind turbines. IET Renewable Power Generation, Vol. 2, No. 2, pp. 75-88, 2008.*
6. **Li, B., Xu, Y., Wu, J., Zhu, J.** *A Petri-net and QoS Based Model for Automatic Web Service Composition. Journal of Software, Vol. 7, No. 1, pp. 149-155, 2012.*
7. **Mtibaa, S., Tagina, M.** *A Petri Nets-based Conceptual Framework for Web Service Composition in a Healthcare Service Platform. Journal of Telecommunications, Vol. 2, No. 4, pp. 836-840, 2012.*
8. **Todica, V., Cremene, M., Vaida, M.** *A Framework for Developing Complex Systems of Services, Coping with Complexity// COPCOM2011, Cluj-Napoca, 19-20 oct. pp. 77-88, 2011.*

**Recomandat spre publicare: 28.11.2013.**